

## شبیه سازی عددی نفوذ پرتابه در هدف بتنی و بررسی روابط تجربی نفوذ

طیب علیزاده<sup>۱</sup>، جواد مرادلو<sup>۲\*</sup>، کیارش ناصراسدی<sup>۳</sup>

۱- دانشجوی کارشناسی ارشد مهندسی عمران دانشگاه زنجان

۲- استادیار دانشکده مهندسی عمران دانشگاه زنجان

۳- استادیار دانشکده مهندسی عمران دانشگاه زنجان

ajmoradloo@yahoo.com

تاریخ دریافت: ۱۳۹۱/۰۵/۱۸

تاریخ پذیرش: ۱۳۹۲/۰۳/۱۸

**چکیده**- در این پژوهش رابطه‌ی تجربی و تحلیلی معتبر که برای محاسبه عمق نفوذ ب وسیله‌ی پژوهشگران ارائه شده، به همراه روش شبیه‌سازی عددی به‌وسیله نتایج تعدادی از آزمایش‌های تجربی بررسی و مقایسه شد. با مقایسه نتایج روابط تجربی و آزمایشگاهی می‌توان عنوان کرد که این روابط براساس نتایج حاصل از آزمایش‌های تجربی و در محدوده کاربری خاصی نتیجه‌گیری شده و دارای دقت مناسبی در بیشتر موارد نیست. از میان روابط تجربی ارائه شده رابطه گروه مهندسین ارتش آمریکا دارای عملکرد و دقت مناسبتری نسبت به دیگر روابط است. در بحث شبیه‌سازی عددی با استفاده از مدل آر.آج.تی (RHT)، که یک مدل مقاومت و شکست بتن پلاستیسیته پیشرفتیه است، دو شبیه سازی عددی انجام شده که نتایج این دو و نتایج حاصل از روابط تجربی با نتایج آزمایشگاهی مقایسه شده است. نتایج این مطالعه نشان می‌دهد که با دقت مناسب پارامترهای مدل ماده استفاده شده در شبیه‌سازی عددی، می‌توان به نتایجی با دقت رسید.

**واژگان کلیدی:** مدلسازی نفوذ در بتن، روابط تجربی، شبیه سازی عددی، ضربه، تحلیل غیرخطی.

تأثیر این مسائل به صورت سنتی روابط تجربی و تحلیلی است.

از گذشته پژوهشگران آزمایش‌های میدانی تجربی متعددی را در این زمینه انجام داده‌اند که حاصل آنها ارائه روابط محاسبه عمق نفوذ پرتابه در بتن است که می‌توان به رابطه‌ی ارائه شده توسط پتری<sup>۱</sup>، آزمایشگاه تحقیقات

بن یکی از مصالح رایج در سازه‌های مهم و استراتژیک است که کارآمدی بالا و مزایای فراوان از جمله شکل پذیری و مقاومت مناسب نسبت به دیگر مصالح، در بارگذاری‌های دینامیکی بسیار شدید مانند بارگذاری ضربه‌ای پرتابه یا انفجار که نرخ کرنش بالایی دارند رفتار پیچیده‌ای از خود نشان می‌دهد. یکی از روش‌های بررسی

1- Petry

دینامیکی بتن و تخریب آن با استفاده از ترکیب مدل ویسکوپلاستیسیته و تئوری تخریب بوده است. در مدلسازی عددی علاوه بر عمق نفوذ، ابعاد و جزئیات خسارت ارائه می‌شوند. در این روش با کالیبره نمودن پارامترهای تأثیرگذار دقت نتایج تا حد قابل قبولی بالا می‌رود که می‌توان به عملکرد این روش اطمینان کرد. این پژوهش به بررسی روابط تحلیلی و تجربی نفوذ پرتابه در هدف بتنی و مطالعات عددی روی نمونه‌های تجربی موجود می‌پردازد و عملکرد و دقت دو روش شبیه‌سازی عددی و روابط تجربی مقایسه می‌شود.

## ۲- ارائه نمونه‌هایی از روابط تجربی

عوامل مختلفی در شرایط و چگونگی نفوذ یک پرتابه در هدف بتنی تأثیرگذار است که موارد مؤثر را می‌توان به صورت رابطه زیر در نظر گرفت:

$$X = f(M, V_0, d, N, f_c, r, E, a, R, \rho, \rho_p, \dots) \quad (1)$$

در این رابطه  $M$  جرم پرتابه بر حسب کیلوگرم،  $V_0$  سرعت برخورد بر حسب متر بر ثانیه،  $d$  قطر پرتابه بر حسب متر،  $N$  ضریب شکل نوک پرتابه،  $f_c$  مقاومت فشاری بتن بر حسب پاسکال،  $r$  ضریب مسلح شدگی بتن،  $E$  ضریب ارجاعی پرتابه،  $a$  اندازه مشخصه سنگ‌دانه بتن بر حسب متر،  $R$  شعاع قوس دماغه پرتابه بر حسب متر و  $\rho_p$  به ترتیب چگالی بتن و فلز پرتابه بر حسب کیلوگرم بر مترمکعب است.

روابط متعددی در مورد نفوذ پرتابه در هدف بتنی وجود دارد. در این مطالعه دوازده مورد از این روابط که دارای دقت بالاتر و کاربرد بیشتری است، بررسی شده که در ادامه هفت مورد به تفصیل ارائه می‌شود. پنج مورد دیگر در مراجع مربوطه [۱۰] و [۱۱] ارائه شده است.

بالستیک<sup>۱</sup>، وین<sup>۲</sup>، برگمن<sup>۳</sup>، هیوز<sup>۴</sup>، گروه مهندسین ارتش آمریکا<sup>۵</sup> و رابطه تحلیلی تجربی فورستال<sup>۶</sup> اشاره کرد [۱]. محدث<sup>۷</sup> و همکاران [۲] چگونگی محاسبه عمق نفوذ پرتابه صلب در اهداف بتن- خاک را با استفاده از تئوری انبساط حفره کروی و رابطه فورستال ارائه کردند. روابط تجربی و تحلیلی در اکثر موارد از عدم دقت لازم و محدودیت‌هایی برخوردار است که میزان صحت، دقت و ارزش محاسباتی آنها را کم می‌کند. از طرف دیگر با رشد دانش نرم افزاری و سخت افزاری و گسترش مدل‌های غیرخطی بتن، استفاده از روش‌های نوین شبیه سازی عددی امکان پذیر شده است.

در زمینه شبیه سازی عددی نفوذ در بتن، با تحقیقات و تحلیل‌هایی که پژوهشگرانی مثل لپانن<sup>۸</sup> [۳] و هانسون<sup>۹</sup> [۴] و نیستروم<sup>۱۰</sup> [۵] و ژنگو<sup>۱۱</sup> [۶] انجام داده‌اند نتایج دلخواه در شبیه سازی بارگذاری ضربه‌ای بتن ارائه شده است. واحدی<sup>۱۲</sup> و همکاران [۷] شبیه سازی رفتار دینامیکی بتن تحت بارگذاری ضربه‌ای را در نرم افزار LS-DYNA انجام دادند. در تحقیق بتن با مدل جانسون هولمکویست<sup>۱۳</sup> مدل شده است. نتایج به دست آمده نشان می‌دهد تطابق قابل قبولی بین نتایج شبیه سازی عددی و نتایج تجربی است. لیاقت<sup>۱۴</sup> و همکاران [۸] یک مدل ساختاری ترکیبی برای بتن تحت تأثیر بارگذاری با نرخ کرنش نسبتاً بالا را ارائه کردند. روش پیشنهادی برای پیش‌بینی مقاومت

1- Ballistic Research Laboratory

2- Whiffn

3- Bergman

4- Hughes

5- Army Corps of Engineers

6- Forrestal

7- Mohades

8- Leppanen

9- Hansson

10- Nystrom

11- Zhenguo

12- Vahedi

13- Jonson and Holmquist

14- Liaghat

$$x = \frac{3.5 \times 10^{-4}}{\sqrt{f_c}} \times \frac{M}{d^2} \times d^{0.215} \times V_0^{1.5} + 0.5 \quad (5)$$

- رابطه اصلاح شده کمیته تحقیقات دفاع ملی امریکا این رابطه نخستین بار توسط کمیته تحقیق دفاع ملی آمریکا در سال ۱۹۴۶ و بر اساس رابطه گروه مهندسین ارتش امریکا ارائه شده است. در این رابطه علاوه بر قطر، جرم و سرعت پرتا به و مقاومت بتن، شکل پرتا به نیز تأثیر داده شده است:

$$G = 3.8 \times 10^{-5} \times \left( \frac{NM}{d \times \sqrt{f_c}} \right) \times \left( \frac{V_0}{d} \right)^{1.8} \quad (6)$$

$$\frac{x}{d} = \begin{cases} 2G^{0.5} & \text{for } G \geq 1 \\ G+1 & \text{for } G < 1 \end{cases} \quad (7)$$

N ضریب دماغه بوده که برای دماغه‌های تخت ۰/۷۲، نیم کره ۰/۸۴، نوک تیز پهن ۱ و خیلی نوک تیز ۱/۱۴ است.

#### • رابطه هیوز

این رابطه توسط هیوز و در سال ۱۹۸۳ و بر اساس فرض‌های رابطه اصلاح شده کمیته تحقیقات دفاع ملی امریکا ارائه شده است [۱۱]:

$$\frac{x}{d} = 0.19 N_h \frac{I}{S} \quad (8)$$

$N_h$  ضریب شکل دماغه بوده که برای دماغه‌های تخت ۱، دماغه‌های لبه دار ۱/۱۲، کروی ۱/۲۶ و برای دماغه‌های خیلی تیز ۱/۳۹ است.

I پارامتر برخورد بوده که از رابطه (۹) بدست می‌آید و دارای محدودیتی با شرط  $3500 \leq I \leq 40$  است. S عامل اندازه گیری کرنش از رابطه (۱۰) به دست می‌آید.

$$I = M V_0^2 / (f_t d^3) \quad (9)$$

$$S = 1 + 12.3 \ln(1 + 0.03I) \quad (10)$$

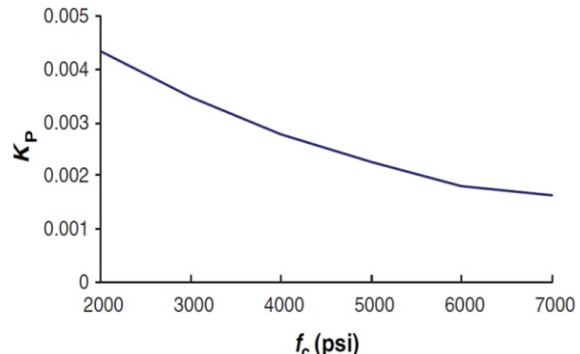
#### • رابطه اصلاح شده پتری

رابطه پتری کاربردی‌ترین و قدیمی‌ترین رابطه مورد استفاده در آمریکا برای پیش‌بینی عمق نفوذ پرتا به در یک محیط بی‌نهایت بتی است. در این رابطه قطر، جرم و سرعت پرتا به و مقاومت بتن در نظر گرفته شده است [۱]:

$$x = k \frac{M}{d^2} \log_{10} \left( 1 + \frac{V_0^2}{19974} \right) \quad (2)$$

$$k = 0.0795 k_p \quad (3)$$

ضریب  $k_p$  یا ضریب نفوذ پذیری بتن بر حسب مقاومت فشاری بتن از شکل (۱) به دست می‌آید.



شکل (۱) تغییرات نفوذ پذیری بتن نسبت به مقاومت فشاری [۱]

#### • رابطه آزمایشگاه تحقیقات بالستیک (BRL)

این رابطه در سال ۱۹۴۱ برای محاسبه عمق نفوذ پرتا به صلب در سازه‌های بتی و مطابق رابطه (۴) و بر اساس نتایج آزمایشگاهی به دست آمده است [۲]:

$$x = \frac{1.33 \times 10^{-3}}{\sqrt{f_c}} \times \frac{M}{d^2} \times d^{0.2} \times V_0^{1.33} \quad (4)$$

#### • رابطه گروه مهندسین ارتش (ACE)

این رابطه بر اساس نتایج آزمایشگاهی و اصلاح رابطه آزمایشگاه تحقیقات بالستیک توسط گروه مهندسین ارتش امریکا و در سال ۱۹۴۳ ارائه شد [۳].

گرفته شوند آنگاه رابطه، یک رابطه جامع و دقیقی خواهد بود. از عوامل بارگذاری ضربه‌ای سازه بتئی، هفت عامل اساسی برای مقایسه در دوازده رابطه در نظر گرفته شده که در جدول (۱) شرایط مقایسه آنها فراهم و نکات زیر قابل ارائه می‌شود:

- تها چهار عامل سرعت، مقاومت بتن، جرم و قطر پرتا به در تمامی روابط در نظر گرفته شده اند.
- بیشتر روابط ارائه شده مقادیر تسليح را در نظر نمی‌گيرند. براساس پژوهش‌های انجام شده مشخص شد که میزان  $0/3$  تا  $1/5$  درصد مسلح شدگی اثر اندکی روی نفوذ و پوسته شدگی دارد ولی میزان  $1/5$  تا  $3$  درصد فقط مقاومت در برابر سوراخ شدگی را افزایش می‌دهد.
- شکل پرتا به که تأثیر زیادی در فرایند و عمق نفوذ دارد، در بعضی از روابط تأثیر داده نشده است.
- در اکثر روابط اثر اندازه سنگدانه‌ها در اندازه‌گیری تأثیرداده نشده است در حالی که اندازه سنگدانه یکی از عوامل مؤثر در عمق نفوذ است.
- در سرعت‌های برخورد کمتر از  $800$  متر بر ثانیه اثر فرسایش ناشی از سایش در دماغه پرتا به مشاهده شده است ولی اثر سایش در بیشتر روابط نفوذ در نظر گرفته نشده است.

برای اعتبار سنجی روابط تجربی و تحلیلی مشخصات و نتایج تعدادی از آزمایش‌های تجربی در جدول (۲) در نظر گرفته شده است. در انتخاب این آزمایش‌ها سعی شده است که تقریباً محدوده گسترده‌ای از پارامترها، تحت پوشش قرار گیرند تا بررسی انجام شده جامع باشد. جنس اهداف بتئی و به شکل استوانه‌ای و پرتا به‌ها از جنس فولاد و به شکل اجایو (گلوله‌ای شکل) است. نتیجه به دست آمده با روابط بالا استفاده از مقادیر عددی آزمایش‌های تجربی درصد دقت روابط، در جدول (۳) ارائه شده است.

$$f_t = 0.63(f_c)^{1/2} \quad (11)$$

#### • رابطه هلی و ویزمن<sup>۱</sup>

این رابطه مشابه رابطه اصلاح شده کمیته تحقیقات دفاع ملی آمریکا و رابطه کار<sup>۲</sup> است [۱]:

$$G = 4.36 \times 10^{-5} \times \left(\frac{E}{E_S}\right) \times \frac{N M}{d \times \sqrt{f_c}} \times \left(\frac{V_0}{d}\right)^{1.8} \quad (12)$$

$$\frac{x}{d} = \begin{cases} 2G^{0.5} & \leftarrow 1 \leq G \\ G+1 & \leftarrow 1 > G \end{cases} \quad (13)$$

#### • رابطه نیمه تحلیلی فورستال

این رابطه در تحقیقات انجام شده توسط فورستال بر مبنای روابط تحلیلی در سال ۱۹۹۴ به دست آمده است [۳].

$$x = \frac{M}{2\pi(\frac{d}{2})^2 \rho N} \ln\left(1 + \frac{N\rho V_1^2}{S f_c}\right) + 2d \quad \text{for } x > 2d \quad (14)$$

پارامترهای رابطه فوق عبارتند از:

$$S = 82.6 (f_c)^{-0.544} \quad (15)$$

$$\psi = \frac{R}{d} \quad (16)$$

$$N = \frac{8\psi - 1}{24\psi^2} \quad (17)$$

$$V_1^2 = \frac{\frac{M}{2} V_0^2 - 4\pi (\frac{d}{2})^3 S f_c}{\frac{M}{2} + 4\pi (\frac{d}{2})^3 N \rho} \quad (18)$$

### ۳- بررسی و مقایسه روابط تجربی - تحلیلی

عوامل متعددی در فرآیند عمق نفوذ تأثیرگذار است که در هر رابطه تجربی با توجه به برداشت و نحوه آزمایش‌های انجام شده این عوامل در نظر گرفته شده‌اند. اگر تمامی عوامل در یک رابطه با نسبت تأثیر مناسب و واقعی در نظر

1- Healey & Weissman  
2- Kar

### ۱-۳- مقایسه عملکرد روابط نفوذ در بتن

از بین دوازده رابطه عنوان شده در جدول (۱) فقط شش رابطه پتری، آزمایشگاه تحقیقات بالستیک، گروه مهندسی ارتش امریکا، کمیته تحقیق دفاع ملی امریکا، هیوز و هیلی و ویزیمن که همگی آزمایش‌ها را تحت پوشش قرار داده است و نتایج مناسبی را نسبت به دیگر روابط ارائه کرده‌اند، برای مقایسه عملکرد آنها، در نظر گرفته شده است.

چهار عامل سرعت برخورده، قطر پرتابه، جرم پرتابه و مقاومت فشاری بتن برای این مقایسه نسبت به نتایج آزمایش‌های تجربی، در نظر گرفته شده که نتایج آن در شکل‌های (۲) الی (۵) ارائه شده است.

در تفسیر شکل‌های فوق باید دقت کرد که عوامل تحت بررسی یک جانبه تغییر داده نشده و تغییر یک بعدی نیست بنابراین نباید انتظار داشت به محض افزایش سرعت و یا جرم و.... عمق نفوذ افزایش داشته باشد.

در جدول (۳) مواردی که آزمایش در محدوده کاربری رابطه نبوده به صورت خط تیره نشان داده شده است. همان‌گونه که در جدول (۳) مشخص است، بعضی از روابط بر اساس محدودیت‌هایی که دارند حتی یک آزمایش را هم تحت پوشش قرار نداده‌اند. درصد دقیق نتایج محاسباتی در محدوده  $30/2$  درصد تا  $148/2$  درصد (حدود یک و نیم برابر نتیجه واقعی) به دست آمده است. از طرف دیگر درصد دقیقی در حدود  $99/8$  درصد هم در نتایج دیده می‌شود. در آزمایش شماره چهار که سوراخ شدگی کامل نتیجه آزمایش تجربی است هیچ کدام از روابط این نتیجه را ارائه نکرده‌اند با این که نتایج در محدوده کاربری این روابط است ولی بیشتر نتایج به دست آمده ارزش محاسباتی ندارند. رابطه فورستال در چارچوب محدودیت‌های عنوان شده پاسخ‌های مناسبی را ارائه کرده است و رابطه گروه مهندسی ارتش آمریکا دقیق مناسبی در محدوده کاربری وسیعی دارد.

جدول (۱) پارامترهای مورد استفاده در روابط تجربی و تحلیلی

عنوان رابطه	جرم M	سرعت $V_0$	قطر پرتابه D	شكل پرتابه N	اندازه سنگانه a	ضریب تسليح K	مقاومت فشاری $f_c$
برگمن	✓	✓	✓	✓	✗	✗	✓
پتری	✓	✓	✗	✗	✗	✓	✓
تحقیقات بالستیک	✓	✓	✓	✗	✗	✗	✓
گروه مهندسی ارتش آمریکا	✓	✓	✓	✗	✗	✗	✓
ویفن	✓	✓	✓	✗	✓	✗	✓
کمیته تحقیق دفاع ملی امریکا	✓	✓	✓	✓	✗	✓	✓
کار	✓	✓	✓	✓	✗	✗	✓
یوکی	✓	✓	✓	✓	✗	✗	✓
هالدروهمیه	✓	✓	✓	✓	✗	✗	✓
هیلی و ویزیمن	✓	✓	✓	✓	✗	✗	✓
هیوز	✓	✓	✓	✓	✗	✗	✓
فورستال	✓	✓	✓	✓	✗	✗	✓

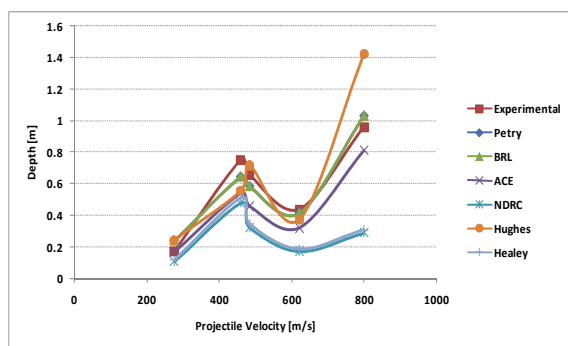
علامت ✓ نشانگر استفاده و علامت ✗ نشانگر عدم استفاده از پارامتر مذکور می‌باشد.

جدول (۲) مشخصات و نتایج آزمایشات تجربی

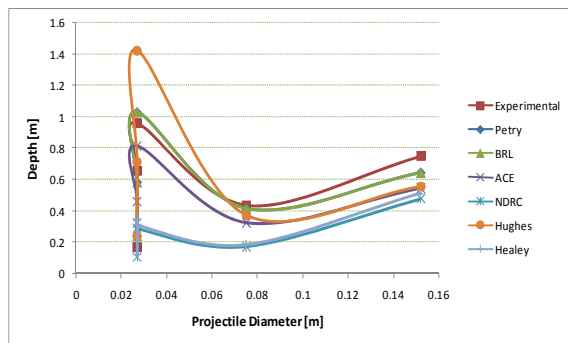
[۱۴]۵	[۴]۴	[۱۴]۳	[۱۴]۲	[۱۳]۱	واحد	نماد	مشخصات
مشخصات هدف							
۱/۲۲	۲/۴	۱/۸۳	۰/۷۶	۲	m	$H_0$	ارتفاع استوانه
۱/۳۷	۰/۷۵	۱/۲۲	۱/۳۷	۱/۶	m	D	قطر استوانه
۲۴۰۰	۲۳۹۰	۲۳۷۰	۲۳۷۰	۲۴۰۰	Kg/m³	$\rho$	چگالی
۸۰	۹۲	۳۲/۴	۳۵/۲	۳۲	Pa	$f_c$	مقاومت فشاری
۰/۰۴	۰/۰۳	۰/۰۳	۰/۰۳	۰/۰۳	m	a	اندازه مشخصه سنگدانه بتن
مشخصات پرتابه							
۰/۲۴۲۴	۰/۵۵۲	۰/۲۴۲۴	۰/۲۴۲۴	۰/۲۲۵	m	H	طول پرتابه
۰/۰۲۶۹	۰/۱۵۲	۰/۰۲۶۹	۰/۰۲۶۹	۰/۰۷۵	m	d	قطر پرتابه
۶۲۲	۴۶۰	۸۰۰	۲۷۷	۴۸۵	m/s	$V_0$	سرعت برخورد
۰/۹۰۵	۴۶/۲	۰/۹۰۴	۰/۹۰۶	۷/۲۸	Kg	M	جرم پرتابه
۰/۰۳۵۶	۰/۲۲۸	۰/۰۳۵۶	۰/۰۳۵۶	۰/۰۹	m	h	طول دماغه پرتابه
۱/۱۴	۱/۱۴	۱/۱۴	۱/۱۴	۱/۱۴	-	$N^*$	ضریب شکل دماغه
۰/۰۵۳۸	۰/۳۸	۰/۰۵۳۸	۰/۰۵۳۸	۰/۲۸	m	R	شعاع دماغه پرتابه
۱۴۸	۱۵۳۹	۱۴۴۸	۱۴۴۸	۷۹۲	Pa	YS	تنش تسلیم پرتابه
نتایج آزمایشگاهی							
۰/۴۳۷	۰/۷۵	۰/۹۵۸	۰/۱۷۳	۰/۶۵۵	m	x	عمق نفوذ

جدول (۳) نتایج حاصل از روابط نفوذ و درصد دقت آنها در مقایسه با نتایج آزمایشات تجربی

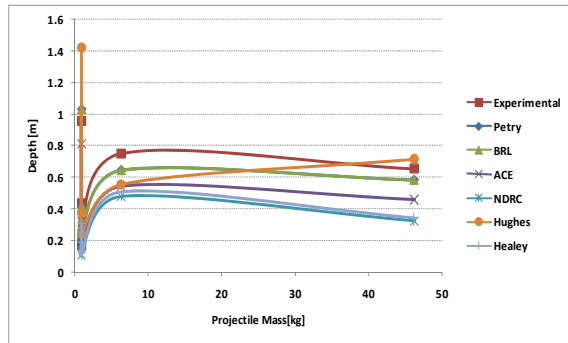
شماره آزمایش					عنوان	شماره آزمایش					عنوان
۵	۴	۳	۲	۱		۵	۴	۳	۲	۱	
۰/۴۳۷	۰/۷۵	۰/۹۵۸	۰/۱۷۳	۰/۶۵۲	نتایج تجربی	۰/۴۳۷	۰/۷۵	۰/۹۵۸	۰/۱۷۳	۰/۶۵۲	نتایج تجربی
-	-	-	۰/۱۳۶	-	رابطه یوکی	۰/۵۳۴	۰/۲۷۱	۰/۳۸۵	۰/۱۵۷	۰/۲۷	عمق نفوذ
-	-	-	۷۸/۶	-	درصد دقت	۷۷/۸	۳۷/۱	۴۰/۲	۹۰/۶	۴۱	درصد دقت
۰/۱۸۴	۰/۴۷۷	۰/۲۸۹	۰/۱۱	۰/۲۲۲	رابطه کار	-	-	-	-	-	عمق نفوذ
۴۲/۱۱	۶۳/۶	۳۰/۲	۶۳/۶	۴۹/۶	درصد دقت	-	-	-	-	-	درصد دقت
۰/۲۲۸	۰/۳۲۹	-	۰/۱۲۵	۰/۳۶۹	رابطه هالدر	۰/۴۶۹	۰/۶۴۵	۱/۰۳	۰/۲۴۱	۰/۵۸۴	عمق نفوذ
۵۴/۴	۴۳/۹	-	۷۲/۲	۵۶/۶	درصد دقت	۹۲/۷	۸۶	۹۲/۰	۶۰/۷	۸۹/۶	درصد دقت
۰/۴۵	۰/۵۵۰	۱/۴۲۲	۰/۲۴۲	۰/۷۱۶	رابطه هیوز	۰/۳۶۲	۰/۵۴۴	۰/۸۱۲	۰/۱۷۰	۰/۴۶۰	عمق نفوذ
۹۷	۷۴	۵۷/۶	۶۰/۱	۹۰/۲	درصد دقت	۸۲/۸	۷۲/۰	۸۴/۸	۹۸/۲	۷۰/۶	درصد دقت
۰/۱۹۷	۰/۵۱۱	۰/۳۰۹	۰/۱۱۷	۰/۳۴۶	هیلی و ویزیمن	۰/۱۸۴	۰/۴۷۷	۰/۲۸۹	۰/۱۰۹	۰/۳۲۳	عمق نفوذ
۴۵/۱	۶۸/۱	۳۲/۳	۶۷/۶	۵۳	درصد دقت	۴۲/۱	۶۳/۶	۳۰/۲	۶۳	۴۹/۵	درصد دقت
۰/۴۴۶	-	-	۰/۹۵۱	۰/۱۵۷	رابطه فورستال	-	-	۰/۹۵۷	۰/۲۳۸	۰/۴۹۹	عمق نفوذ
۹۷/۹	-	۹۹/۳	۹۰/۸	-	درصد دقت	-	-	۹۹/۹	۶۲/۴	۷۷/۵	درصد دقت



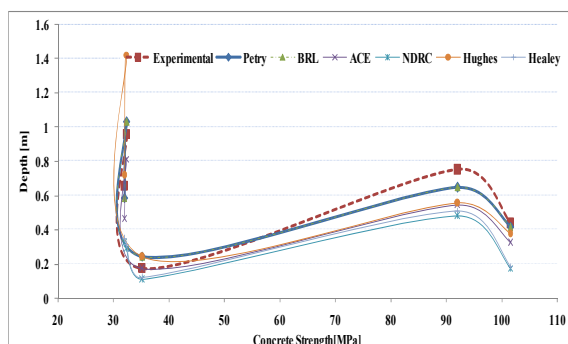
شکل (۲) عملکرد روابط تجربی (عمق نفوذ در برابر سرعت پرتابه)



شکل (۳) عملکرد روابط تجربی (عمق نفوذ در برابر قطر پرتابه)



شکل (۴) عملکرد روابط تجربی (عمق نفوذ در برابر جرم پرتابه)



شکل (۵) عملکرد روابط تجربی (عمق نفوذ در برابر مقاومت بتن)

به عنوان مثال در شکل (۲) وقتی که سرعت از ۴۸۵ به ۶۲۲ می‌رسد عمق نفوذ کاهش پیدا می‌کند در حالی که انتظار می‌رود عمق نفوذ افزایش داشته باشد ولی با توجه به این که جرم پرتابه کاهش و مقاومت فشاری بتن افزایش داشته که این تغییر در عوامل یاد شده باعث شده که انرژی پرتابه و عکس العمل هدف بر عکس افزایش تناسبی سرعت باشد و در نتیجه عمق نفوذ کاهش داشته باشد.

در شکل (۲) عملکرد نسبت عمق نفوذ به تغییرات سرعت پرتابه، در روابط عنوان شده ارائه شده است که در آن منحنی پاسخ رابطه گروه مهندسی ارتش آمریکا نسبت به دیگر روابط دارای هماهنگی و تشابه بیشتری با منحنی حاصل از نتایج آزمایشگاهی دارد.

در شکل (۳) عملکرد روابط تجربی یاد شده، برای نسبت عمق نفوذ به قطر پرتابه ارائه شده است که در آن منحنی پاسخ رابطه گروه مهندسی ارتش آمریکا و در محدوده هایی هم رابطه آزمایشگاه تحقیقات بالستیک نسبت به دیگر روابط دارای هماهنگی و تشابه بیشتری با منحنی حاصل شده از نتایج آزمایشگاهی دارند.

در شکل (۴) عملکرد روابط تجربی برای نسبت عمق نفوذ به جرم پرتابه ارائه شده است که در آن منحنی پاسخ رابطه گروه مهندسی ارتش آمریکا و در محدوده هایی هم رابطه آزمایشگاه تحقیقات بالستیک نسبت به دیگر روابط تشابه بیشتری به منحنی نتایج آزمایشگاهی دارند.

در شکل (۵) عملکرد شش رابطه تجربی مورد بحث برای نسبت عمق نفوذ به مقاومت بتن ارائه شده است که در آن منحنی پاسخ رابطه گروه مهندسی ارتش آمریکا نسبت به دیگر روابط دارای هماهنگی و تشابه خوبی با منحنی حاصل از نتایج آزمایشگاهی دارد.

دقت مناسبی در مدلسازی رفتار بتن نسبت به دیگر مدل‌ها دارد. در این تحقیق برای شبیه‌سازی از این مدل استفاده می‌شود.

در بارگذاری ضربه‌ای جنس هدف و پرتا به باید مشخص باشد که در این پژوهش هدف بتن و جنس پرتا به فولاد است. مدل‌های به کار گرفته شده برای این مصالح در جدول (۴) ارائه شده است. این انتخاب براساس ویژگی‌های مصالح پرتا به و هدف [۴و۳] در نظر گرفته شده و همانگونه که از جدول (۴) پیدا است پرتا به به دلیل اینکه صلب و سخت در نظر گرفته شده است مدل شکست و مدل فرسایش ندارد.

جدول (۴) مدل‌های به کار گرفته شده برای مصالح

عنوان	جنس	معادله حالت	مدل مقاومت	مدل شکست	مدل	
RHT	RHT	$P-\alpha$		هدف		کرنش هندسی
ندارد	ندارد	فولاد	جانسون کوک	جانسون کوک	پرتا به	

#### ۴-۱- مدل بتن RHT

مدل آر اچ تی مدل پلاستیستیه پیشرفت‌های است که اول توسط ریدل، هایرمایر<sup>۲</sup> و توما<sup>۳</sup> پیشنهاد و توسط ریدل توسعه داده شده است. این مدل برای شبیه‌سازی بتن و دیگر مواد شکننده از قبیل سنگ و سرامیک که تحت بارگذاری دینامیکی شدید قرار گرفته‌اند بسیار کارآمد است[۱۵]. عملکرد و رفتار مناسب این مدل در شبیه‌سازی رفتار غیرخطی بتن براساس انتخاب صحیح مقادیر ثابتی است که به عوامل و پارامترهای آن اختصاص داده می‌شود. هر قدر انتخاب این مقادیر با منطق و بررسی بیشتری انجام شود نتایج به دست آمده به واقعیت نزدیک‌تر خواهند بود. این مدل همراه با معادله حالت پی-آلfa مورد استفاده قرار می‌گیرد. در این مطالعه نتایج نهائی بعد از تدقیق پارامترهای

از اشکال (۲) الی (۵) معلوم است که دو رابطه آزمایشگاه تحقیقات بالستیک و گروه مهندسین ارتش آمریکا نسبت به دیگر روابط عملکرد مناسبی دارند. رابطه گروه مهندسین ارتش آمریکا در حدودی منطبق بر نتایج تجربی بوده و در مواردی هم با ضریب ثابتی نسبت به نتایج تجربی تفاوت داشته است که این ضریب تقریباً همواره افزاینده بوده است در حالی که در دیگر روابط این ضریب یا خیلی عدد محسوسی است و در محدوده‌ای افزاینده و در حدود دیگری کاهنده است که عملکرد دوگانه‌ای داشته و بنابراین قابل اطمینان نیست.

#### ۴- مدلسازی عددی آزمایش‌های تجربی

همانگونه که عنوان شد روابط تجربی و تحلیلی روش مناسبی برای محاسبه و تحلیل مسائل بارگذاری‌های شدید نیست. با توجه به پیشرفت‌های گسترده‌ای که در بخش نرم افزاری و سخت افزاری و نیز روش‌های عددی بوجود آمده است امکان استفاده رایج از روش‌های شبیه‌سازی عددی فراهم شده است. روش المان محدود یکی از روش‌های عددی است که کارآیی مناسبی در تحلیل مسائل بارگذاری ضربه‌ای و انفجاری داشته است[۱۵].

به علت اینکه شبیه‌سازی عددی حجم محاسبات بالایی دارد، بهترین روش برای کم کردن حجم محاسبات استفاده از روش انتگرال گیری صریح به جای انتگرال گیری ضمنی است. دو نرم افزار کارآمد Ls-Dyna و Autodyn برای انتگرال گیری صریح موجود است. در نرم افزار Ls-Dyna مدل‌های جانسون هلمکویست و جبنک روپرت<sup>۱</sup> و در نرم افزار Autodyn مدل RHT برای شبیه‌سازی بتن استفاده می‌شوند. براساس بررسی و تحقیقات پیشین [۶ و ۵ و ۴ و ۳] مشخص شد مدل RHT در نرم افزار انداین کارآمدی و

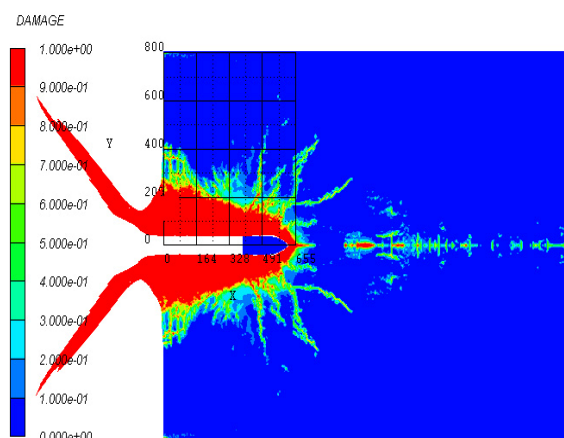
2- Riedel

3- Hiermaier

4- Toma

1- Gebbeken and Ruppert

نفوذ برابر ۶۵۵ میلی متر به دست آمده است در حالیکه مقادیر حاصل از روابط تجربی برای این مثال در جدول (۳) در بالاترین میزان دقت رابطه هیوز با دقیقی در حدود ٪۹۰ ارائه شده است. شیوه سازی انجام شده مطابق شکل (۶) علاوه بر عمق نفوذ دیگر ابعاد خسارت از جمله ترک ها و قلوه کنی را نیز ارائه می کند.



شکل (۶) نتیجه شیوه سازی دوبعدی آزمایش تجربی شماره یک

در شکل (۷) نحوه خسارت به وجود آمده و سرعت خروج پرتا به همراه سوراخ شدگی هدف برای آزمایش تجربی شماره (۴) به صورت شیوه سازی سه بعدی نشان داده شده است. سرعت خروجی پرتا به برابر  $190 \text{ m/s}$  است که برابر با مقدار گزارش شده در آزمایش تجربی است [۴]. هیچ یک از روابط تجربی قادر به محاسبه این پارامتر نیست. در شکل (۸) چگونگی تغییرات سرعت پرتا به نسبت به زمان در این شیوه سازی ارائه شده است.

## ۵- نتیجه گیری

پژوهش روابط تجربی و تحلیل محاسبه عمق نفوذ پرتا به در سازه های بتی ارائه شده و با نتایج آزمایشگاهی مقایسه شد و مدل سازی عددی برخورد پرتا به فولادی با هدف بتی با مدل پلاستیسیته پیشرفتی صورت گرفت. نتایج زیر را

مدل های به کار رفته، ارائه شده است.

در این مدل رفتار نرم شدگی سطح مقاومت شکست غیروابسته و نیز مقاومت کششی هیدرواستاتیکی بتی وابسته به نرخ کرنش ایجاد شده و مدل خسارت برآشی ناشی از تنفس انحرافی مصالح محدود شده در یک سطح گسیختگی کلی، است [۱۵]. این مدل شامل سه سطح وابسته به فشار است که عبارتند از: سطح حدود الاستیک  $Y_{\text{el}}$  و سطح گسیختگی  $Y_{\text{fail}}$  و سطح مقاومت پسماند  $Y_{\text{fric}}$  [۳].

## ۶- نتایج شیوه سازی عددی

برای بررسی دقت و اعتبار شیوه سازی عددی آزمایش تجربی شماره یک و چهار به وسیله نرم افزار اتسوداین بررسی شد که نتایج آن در شکل های (۶) الی (۸) ارائه شده است.

قبل از انجام تحلیل ها مطالعات پارامتریک روی پارامترهای انجام شده و تحلیل ها با پارامترهای واسنجی شده انجام گرفتند. پارامترهای واسنجی شده شامل: ثابت مقاومت پسماند، توان مقاومت پسماند، توان نرخ کرنش کششی و توان نرخ کرنش فشاری، ثابت سطح شکستگی، توان سطح شکست کامل، معیار فرسایش، خطای انرژی، پارامتر اصطکاک بین بتن و پرتا به و شکل پرتا به است. دقت نتایج به دست آمده بیانگر آن است که برای دیگر مسائل بارگذاری ضربه ای اهداف بتی، مدل RHT با داده های واسنجی شده نتایج مناسبی را ارائه خواهد کرد.

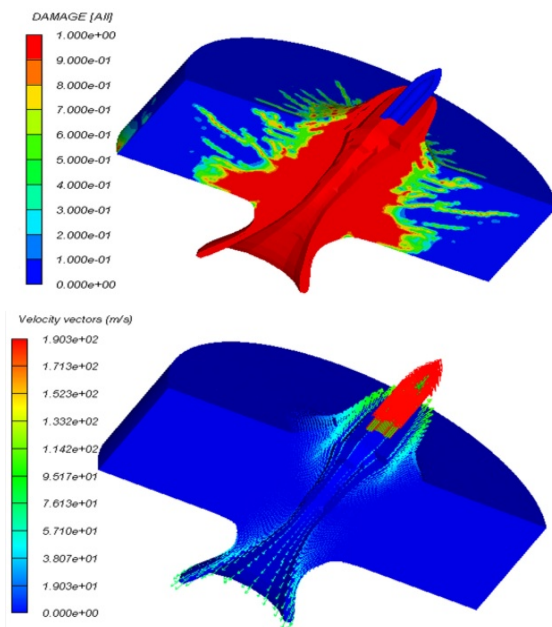
با توجه به نتایج مندرج در جدول (۲) عمق نفوذ خسارت ناشی از بارگذاری ضربه ای پرتا به در آزمایش تجربی حدود ۶۵۵ میلی متر بوده و قطر حفره نفوذی (قلوه کن شدگی) در حدود ۸۰۰ میلی متر است [۱۳]. همانگونه که در شکل (۶) مشاهده می شود این نتایج بعد از شیوه سازی حاصل شده است یعنی قطر حفره نفوذی برابر ۸۰۰ و عمق

روابط تجربی قادر به این محاسبات نیست.

✓ واسنجی برای مدل دوبعدی انجام شده و بدون تغییر برای مدل سه بعدی نیز استفاده شد. برای دیگر مسائل ضربه پرتا به فلزی در هدف بتنی، مدل RHT با داده های واسنجی شده فوق نتایج مناسبی ارائه می کند.

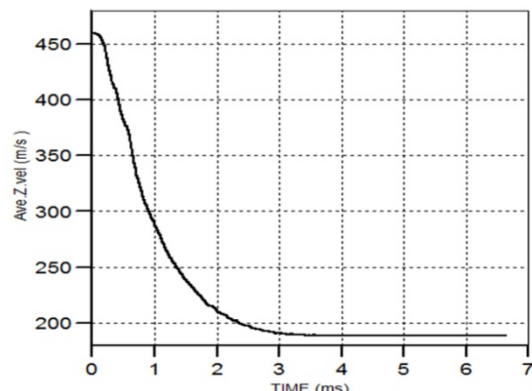
✓ مدل پلاستیسیته RHT ضمن واسنجی مناسب کارایی و دقیق لازمه برای مدل سازی رفتار بتن تحت بارگذاری بسیار شدید با نرخ کرنش بالا مانند بارگذاری ضربه ای را خواهد داشت.

می توان از تحلیل های فوق ارائه کرد :



شکل (۷) نتیجه شبیه سازی سه بعدی آزمایش تجربی شماره چهار  
(توزیع خسارت بالا، کانتور سرعت در پائین)

- ## ۶- منابع
- [1] Li Q.M., S.R. Reid, H.M. Wen, A.R. Telford. Local impact effects of hard missiles on concrete targets. *Int J Impact Eng* 2005;32:224–284.
  - [۲] محمدی، م.، خوگر، و، واحدی، خ. "محاسبه عمق نفوذ پرتا به صلب در اهداف بتن-خاک" نوزدهمین همایش سالانه مهندسی مکانیک ۱۳۹۰.
  - [3] Leppanen, J., "Dynamic Behavior of Concrete Structures subjected to Blast and Fragment Impacts", Licentiate Thesis, Department of Structural Engineering, Concrete Structures, Chalmers University of Technology, Göteborg, 2002, 71 pp.
  - [4] Hansson, H. Skoglund, P. Simulation of concrete penetration in 2D and 3D with the RHT material model. FOI- R- 0720-SE. Swedish Defence Research Agency, (2002) 51 pp.
  - [5] Nyström U, Leppänen J. Numerical studies of projectile impacts on reinforced concrete. In: Fan SC, Chua HK, editors. Proceedings of the second international conference on design and analysis of protective structures, Singapore. 2006. pp. 310-319.
  - [6] Zhenguo Tu, Yong Lu. Modifications of RHT material model for improved numerical simulation of dynamic response of concrete. *International Journal of Impact Engineering* 37 (2010) 1072e1082.



شکل (۸) منحنی کاهش سرعت پرتا به در شبیه سازی سه بعدی

- ✓ از بین روابط تجربی ارائه شده برای محاسبه عمق نفوذ رابطه گروه مهندسی ارتش آمریکا در محدوده کاربری وسیع تر دارای دقیق و اعتبار بالاتری است.
- ✓ روش شبیه سازی عددی علاوه بر عمق نفوذ دیگر ابعاد خسارت از جمله نحوه گسترش ترکها و قلوه کنی و پوسته شدگی را می تواند محاسبه و نمایش دهد در حالی که

- [11] Hughes G. Hard missile impact on reinforced concrete. Nucl Eng Des 1984;77:23–35.
- [12] Bangash MYH. Concrete and concrete structures: numerical modeling and application. London: Elsevier Applied Science; 1989.
- [13] Hansson, H. Numerical simulation of concrete penetration. FOA Report 98-00816-311--SE. National Defence Research Establishment, Tumba Sweden, (1998)17 pp,
- [14] Forrestal M.J, Altmen B.S, Cargile J.D and Hanchak S.J. An empirical equation for penetration depth of ogive-nose projectiles into concrete target. Int J Impact Eng 1994;15:395–405.
- [15] AUTODYN. Autodyn User Manual, Version 13.0. Century Dynamics Inc, USA, (2010).
- [7] واحدی، خ. لطیفی، م. خسروی، ف " شیوه سازی رفتار دینامیکی بتن تحت بارگذاری ضربهای " چهارمین کنگره ملی مهندسی عمران " اردیبهشت ۱۳۸۷.
- [8] لیاقت، غ. احمدی، م.ت و پیرعلی، پ. " بررسی عددی و ارایه یک مدل ساختاری ترکیبی برای بتن تحت تاثیر بارگذاری با نرخ کرنش نسبتا بالا " مواد پر انرژی پاییز و زمستان ۱۳۸۹، ۱۵(۲) (پیاپی ۱۰): ۴۳-۵۷.
- [9] علیزاده، ط " تحلیل دینامیکی غیر خطی سدهای بتی قوسی تحت بارگذاری ضربهای پرتابه " دانشگاه زنجان، پایان نامه کارشناسی ارشد ۱۳۹۰.
- [10] NDRC. Effects of impact and explosion. Summary Technical Report of Division 2, vol. 1, National Defence Research Committee, Washington, DC, 1946.

---

**Abstracts**

---

«Research Note»

## Numerical simulation of impact penetration in concrete target and investigating of empirical solution

T. Alizadeh<sup>1</sup>, J. Moradloo<sup>2\*</sup>, K. Naserasadi<sup>3</sup>

1- M.Sc. Student , University of Zanajan

2,3- Assistant Professor , University of Zanajan

[ajmoradloo@yahoo.com](mailto:ajmoradloo@yahoo.com)

**Abstract:**

Understanding the behavior of concrete at high strain rates loading is a critical issue for theory and applied purposes. The concrete is non-linear, rate-sensitive and pressure-dependent material that will add more difficulties in its modeling at high loading conditions such as impact penetration situations.

In the present study, numerical simulation of penetration in a concrete target using an advanced plasticity concrete model is presented using explicit finite element (FE) analysis. A full 3D FE model of impact on unreinforced concrete specimens is carried out. The analysis includes initiation and progressive damage of the composite during impact and penetration

Also comparison between some empirical solutions is carried out and their accuracy and precision are checked used experimental solution. Concrete nonlinear behavior was modeled using RHT model which is an advanced plasticity model for concrete at high strain rate loading condition.

Two test examples are presented to demonstrate the proposed method. They involve the impact of an ogive-nose projectile on concrete cylinders with variable dimensions. The FEM computational results obtained using RHT plasticity model are very close to the test data, implying that the proposed method will be promising in studies of impact analyses of concrete structures subjected to impact loading.

In using RHT model with the default model parameter values, the experimental results cannot be reproduced satisfactorily. Dduced results having good agreement with experimental ones using suitable calibration of plasticity model parameters value.

The RHT plasticity concrete model was developed as an enhancement to the JH concrete model by the introduction of several new features. In this new model, the strain hardening and the third invariant dependence were considered. An independent fracture strength surface was incorporated to allow for a more appropriate modeling of the material softening response. In addition, the concrete hydrostatic tensile strength was made rate dependent. Using a modified parameter setting, the RHT model implemented in AUTODYN hydrocode exhibits a generally excellent behavior.

In this paper also, a comprehensive evaluation study of several widely used empirical penetration depth relation is presented. The model formulations are scrutinized and numerical tests are carried out to examine their actual performances subjected to various loading conditions. Comments on the limitations and the appropriate use of these models are given. In addition to penetration depth, damage extension, concrete sapling, scabbing and output velocity of missile and other time dependent structural quantities can captures well. This is in contract with imperial relations that have only penetration depth calculation capability for special conditions. On the other hand investigating of empirical relation shown in addition to their finite application ranges, they haven't good results in majority of cases. Among them, US army corps of engineers" experimental based relation have better results compared other empirical relations for calculation of penetration depth.

**Keywords:** Concrete penetration, empirical relation, numerical solution, impact, nonlinear solution, RHT plasticity model